



Catene di Markov

- **Utile modello** di molti processi di interesse per il settore delle telecomunicazioni.
 - Processo d'errore.
 - Affievolimento introdotto dal canale.
 - Evoluzione temporale sistemi a coda (reti).
- **Consolidata trattazione teorica.**
- Disponibili tecniche per **approssimare** un generico processo aleatorio mediante una catena di Markov.



Catene di Markov

- Si consideri una sequenza di variabili aleatorie $\{X_n, n=0,1,\dots\}$ che assumono i loro valori in un insieme discreto S_X .
- Una catena di Markov tempo discreto $\{X_n, n=0,1,\dots\}$ è una sequenza aleatoria tale che, date X_0, X_1, \dots, X_n , il valore della v.a. successiva X_{n+1} dipende dal valore di X_n ma non dai valori di $X_i, i < n$.
- La dipendenza è espressa mediante la probabilità di transizione:

$$P[X_{n+1} = j | X_n = i, X_{n-1} = i_{n-1}, \dots, X_0 = i_0] = P[X_{n+1} = j | X_n = i] = P_{i,j}$$

Probabilità di transizione

- Valgono le: $P_{i,j} \geq 0, \quad \sum_{j=0}^{\infty} P_{i,j} = 1.$
- Se l'insieme S_X ha dimensione finita, si parla di catena di Markov finita. Supponiamo che sia $S_X = \{0, 1, \dots, K\}.$
- In questo caso, le probabilità di transizione sono espresse in notazione matriciale (matrice di transizione).

$$\mathbf{P} = \begin{bmatrix} P_{00} & P_{01} & \cdots & P_{0K} \\ P_{10} & P_{11} & & P_{1K} \\ \vdots & & \ddots & \vdots \\ P_{K0} & P_{K1} & \cdots & P_{KK} \end{bmatrix}$$



Proprietà matrice di transizione

- Le probabilità P_{ij} soddisfano le condizioni:

$$P_{i,j} \geq 0, \quad \sum_{j=0}^K P_{i,j} = 1, \quad \forall i.$$

- Teorema di Chapman-Kolmogorov.** Definita la probabilità di transizione in n passi, $P^{(n)}_{i,j} = P[X(n+m)=j | P(x(n)=i)]$ si ha:

$$P^{(n+m)}_{i,j} = \sum_{k=0}^K P^{(n)}_{i,k} P^{(m)}_{k,j}, \quad \forall i, j.$$

- Ne consegue che la matrice di transizione in n passi è data da:

$$\mathbf{P}^{(n)} = \mathbf{P}^n.$$



Vettore probabilità di stato

- Un vettore riga $\mathbf{p}=[p_0, p_1, \dots, p_K]$, dicesi v.p. di stato se valgono le:

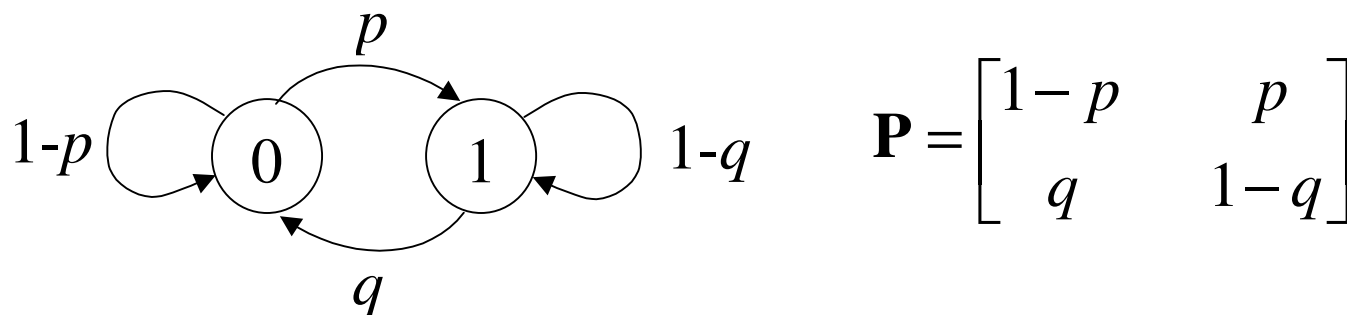
$$p \geq 0, \quad \sum_{i=0}^K p_i = 1, \quad \forall i.$$

- Il vettore di stato al passo n può essere determinato nei seguenti modi:

$$\mathbf{p}(n) = \mathbf{p}(0)\mathbf{P}^n = \mathbf{p}(n-1)\mathbf{P}$$

Esempio

- Consideriamo, per semplicità, una macchina a due stati. La descrizione grafica comunemente adottata è la seguente:



- Gli autovalori di \mathbf{P} (sol. di $\det(\mathbf{P}-\lambda\mathbf{I})=0$) sono $\lambda_1=1$ e $\lambda_2=1-(p+q)$. Gli autovettori destri di \mathbf{P} , sol. dell'equazione $\mathbf{s}_i\mathbf{P} = \lambda_i\mathbf{s}_i$ sono $\mathbf{s}_1=[q/(p+q), p/(p+q)]$, $\mathbf{s}_2=[-1 \ 1]$.

Esempio (continua)

- \mathbf{P} si può diagonalizzare nel seguente modo:

$$\mathbf{P} = \mathbf{S}^{-1} \mathbf{D} \mathbf{S} = \begin{bmatrix} 1 & -p/(p+q) \\ 1 & q/(p+q) \end{bmatrix} \begin{bmatrix} \lambda_1 & 0 \\ 0 & \lambda_2 \end{bmatrix} \begin{bmatrix} q/(p+q) & p/(p+q) \\ -1 & 1 \end{bmatrix}$$

- Risulta essere:

$$\mathbf{P}^n = \mathbf{S}^{-1} \mathbf{D}^n \mathbf{S} = \frac{1}{p+q} \begin{bmatrix} q & p \\ q & p \end{bmatrix} + \frac{\lambda_2^n}{p+q} \begin{bmatrix} p & -p \\ -q & q \end{bmatrix}$$

- Se il vettore iniziale è $\mathbf{p}(0) = [p_0 \ p_1]$ si ha ($\lambda_2 = 1 - (p+q)$):

$$\mathbf{p}(n) = [p_0(n) \ p_1(n)] = \begin{bmatrix} \frac{q}{p+q} & \frac{p}{p+q} \\ \frac{q}{p+q} & \frac{p}{p+q} \end{bmatrix} + \lambda_2^n \begin{bmatrix} \frac{p_0 p - p_1 q}{p+q} & \frac{-p_0 p + p_1 q}{p+q} \\ \frac{p_0 p - p_1 q}{p+q} & \frac{-p_0 p + p_1 q}{p+q} \end{bmatrix}$$



Probabilità asintotiche di stato

- Le probabilità asintotiche (o limite) di stato, se esistono, sono definite dalla seguente relazione:

$$\pi_j = \lim_{n \rightarrow \infty} p_j(n) = \lim_{n \rightarrow \infty} P[X_n = j]$$

- Tali probabilità potrebbero dipendere dallo stato iniziale.
- Nell'esempio precedente distinguiamo tre casi:
 - a) $0 < p+q < 2$. In questo caso $\pi = [q/(p+q) \quad p/(p+q)]$;
 - b) $p+q=0$. In questo caso il sistema rimane nello stato iniziale ($\pi = \mathbf{p}(0)$).
 - c) $p+q=2$. In questo caso il sistema oscilla tra lo stato 0 e lo stato 1 (non esiste π).



Catene di Markov: processi di rinnovamento

- **Visitazione.** Dato un sistema che parte nello stato i , $V_{i,j}$ rappresenta l'evento corrispondente all'ingresso nello stato j .
- **Tempo di primo transito.** Per stati i, j tali che $P[V_{i,j}] = 1$, il tempo di primo transito, $T_{i,j}$, è il numero di passi necessario per passare da i a j .
- Supponiamo $P[V_{i,j}] = 1$. Il processo che porta da j a j è un processo di rinnovamento con interarrivo $X_2 = T_{j,j}$. Il processo che porta da i a j è un processo di rinnovamento ritardato con $X_1 = T_{i,j}$ e $span = 1$. Applicando il teorema di Blackwell si ha:

$$\lim_{n \rightarrow \infty} P_{i,j}^{(n)} = \lim_{n \rightarrow \infty} P[\text{rinnovo a } n] = \frac{1}{E[T_{j,j}]}$$



Processi di rinnovamento con ricompensa

- Supponiamo di guadagnare un ricompensa $R_n=1$ ogni volta che il sistema si trova in j .
- Dato che ad ogni ingresso in j (anche provenendo da j) si ha un rinnovamento, applicando la teoria dei processi di rinnovamento con ricompensa otteniamo il seguente risultato sul tempo di permanenza medio in j .

$$\lim_{t \rightarrow \infty} \frac{R(t)}{t} = \frac{E[R_n]}{E[T_{jj}]} = \frac{1}{E[T_{jj}]}$$

- Riassumendo: la probabilità asintotica coincide con la frazione di tempo trascorsa nello stato.



Classificazione degli stati

- Due stati, x , y , si dicono **comunicanti** se nel grafo si può individuare un percorso da x a y e uno da y a x ($x \leftrightarrow y$).
- Una **classe comunicante** è un insieme di stati C , tale che se $i \in C$, allora $j \in C$ se e solo se $i \leftrightarrow j$.
- Uno stato i può essere:
 - **transiente**, se $P[V_{ii}] < 1$;
 - **ricorrente positivo** se $P[V_{ii}] = 1$ e $E[T_{ii}] < \infty$;
 - **ricorrente nullo** se $P[V_{ii}] = 1$ e $E[T_{ii}] = \infty$.



Teoremi

- Uno stato è ricorrente se e solo se (ci si ritorna un numero infinito di volte):

$$E[\text{numero visite a } i | X_0 = i] = \sum_{n=0}^{\infty} P_{i,i}^{(n)} = \infty.$$

- In una catena di Markov vi è sempre un insieme di stati ricorrenti.
- Se $i \leftrightarrow j$, e i è ricorrente, allora j lo è.
- In una classe comunicante, tutti gli stati sono dello stesso tipo (transienti, ricorrenti positivi o ricorrenti nulli).

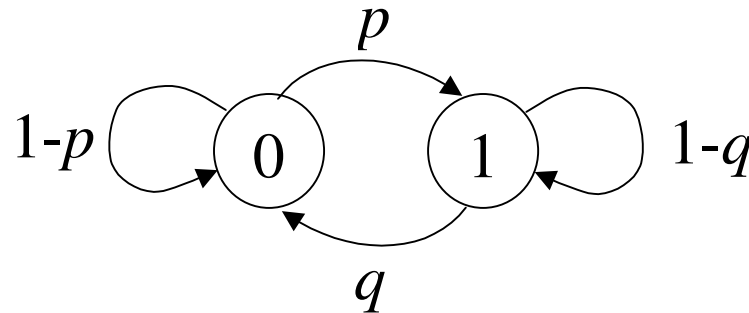


Stati periodici

- **Stato periodico:** uno stato i si dice periodico di periodo d se d è il più grande intero tale che $P_{ii}^{(n)}=0$, qualora n non sia divisibile per d . Se $d=1$, lo stato si dice aperiodico.
- **Teorema.** Tutti gli stati di una classe comunicante hanno il medesimo periodo.

Esempio (continuazione)

- Consideriamo nuovamente il solito esempio.



- $0 < p+q < 2$. I due stati sono ricorrenti positivi, aperiodici, e appartengono a una classe comunicante.
- $p+q=0$. I due stati sono ricorrenti positivi, aperiodici, e appartengono a due classi distinte.
- $p+q=2$. In questo caso gli stati sono ricorrenti positivi, periodici di periodo 2 e appartengono a una classe comunicante.



Teoremi limite

- Generalizzando il teorema di rinnovamento, per due stati comunicanti aperiodici i e j :

$$\lim_{n \rightarrow \infty} P_{i,j}^{(n)} = \begin{cases} 1/E[T_{jj}] & P[V_{jj}] = 1 \\ 0 & P[V_{jj}] < 1 \end{cases}$$

Se i due stati sono transienti, la probabilità asintotica di entrare in j è nulla.

- **Definizione.** Una catena di Markov si dice **irriducibile** se include **una sola classe comunicante**.



Teoremi limite (continua)

- In una catena di Markov irriducibile aperiodica vale una delle seguenti condizioni.
 - a) Gli stati sono tutti o transienti o ricorrenti nulli, $\lim_{n \rightarrow \infty} P_{ij}^{(n)} = 0$, e non esiste distribuzione stazionaria.
 - b) Gli stati sono tutti ricorrenti positivi, e le probabilità limite di stato $\pi_j = \lim_{n \rightarrow \infty} P_{ij}^{(n)} > 0$ sono l'unica probabilità di massa che soddisfa l'equazione:

$$\pi_j = \sum_i \pi_i P_{ij}.$$



Teoremi limite (continua)

- Per una catena di Markov irriducibile aperiodica, con un numero finito di stati $K+1$, la matrice di transizione limite è:

$$\lim_{n \rightarrow \infty} \mathbf{P}^n = \begin{bmatrix} \boldsymbol{\pi} \\ \boldsymbol{\pi} \\ \vdots \\ \boldsymbol{\pi} \end{bmatrix} = \begin{bmatrix} \pi_0 & \pi_1 & \cdots & \pi_K \\ \pi_0 & \pi_1 & \cdots & \pi_K \\ \vdots & \vdots & \ddots & \vdots \\ \pi_0 & \pi_1 & \cdots & \pi_K \end{bmatrix}.$$



Teoremi limite (continua)

- Per una catena di Markov irriducibile aperiodica, con un numero finito di stati $K+1$, il vettore π è l'unica soluzione della seguente equazione.

$$\pi = \pi P, \quad \sum_{j=0}^K \pi_j = 1.$$

- Quindi, il vettore π è l'autovettore sinistro, corrispondente all'autovalore $\lambda=1$, normalizzato in modo da soddisfare i requisiti a cui deve sottostare una FDP legittima.
- Nel solito esempio, nel caso in cui sia $0 < p+q < 2$ si ha:

$$\pi = [q/(p+q) \quad p/(p+q)].$$

Teoremi limite (continua)

- Per una catena di Markov irriducibile, ricorrente positiva, periodica, il vettore delle probabilità stazionarie π è l'unica soluzione della seguente equazione.

$$\pi = \pi P, \quad \sum_j \pi_j = 1.$$

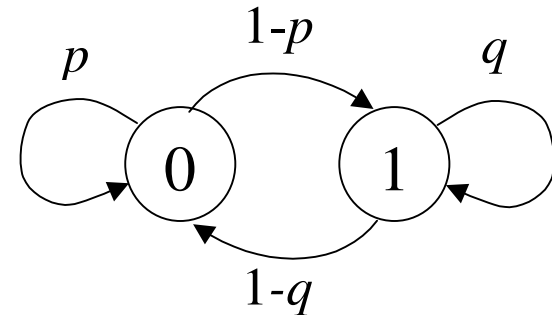
- Per una catena irriducibile di periodo d , sia $R_j(t)$ il tempo speso nello stato j in $[0, t)$. La frazione di tempo spesa è

$$\lim_{t \rightarrow \infty} \frac{R(t)}{t} = \pi_j = \frac{1}{E[T_{jj}]} = \lim_{n \rightarrow \infty} \frac{P_{ij}^{(nd)}}{d}$$

Nel solito esempio, con $p=q=1$, è $d=2$, non esiste la probabilità asintotica, è $\mathbf{P}^{nd}=\mathbf{I}$, per cui risulta essere $P_{jj}=1$, $\pi_j=1/2$, $j=1,2$.

Esercizio

- Una sorgente binaria con memoria emette un bit al secondo, secondo il modello di Markov riportato in figura.



- Come nell'esempio precedente, i valori emessi vengono codificati nel seguente modo.
- In una prima fase si adotti la tabella di codifica indicata.

Sequenza	Simbolo
1	0
01	1
001	2
0001	3
...	...
00000001	7
00000000	8

- Nella seconda fase si associ il valore 0 al simbolo 8 e i valori $1b_1b_2b_3$ ai simboli $0\div 7$, dove $b_1b_2b_3$ rappresenta la codifica binario del simbolo.



Soluzione (1)

- Determiniamo il tasso di emissione dei simboli in uscita, la bit rate dopo la codifica e i valori di p e q per cui la codifica è conveniente.
- Osserviamo che a ciascun transito per lo stato 1 della sorgente corrisponde l'emissione di un simbolo codificato con 4 bit.
- La probabilità dello stato 1 è stata già determinata in precedenza ma può essere semplicemente determinata dalle:

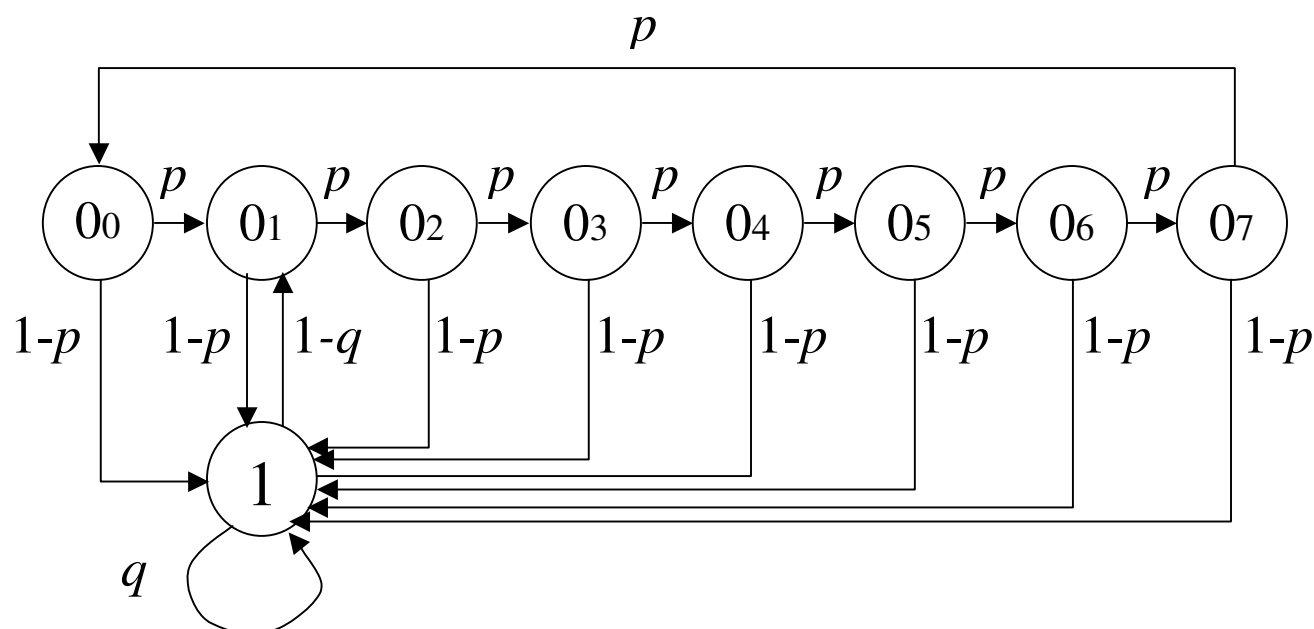
$$[\pi_0 \quad \pi_1] = [\pi_0 \quad \pi_1] \begin{bmatrix} p & 1-p \\ 1-q & q \end{bmatrix},$$

$$\pi_0 + \pi_1 = 1.$$

- Si ottiene: $\pi_0 = \frac{1-q}{2-p-q}$, $\pi_1 = \frac{1-p}{2-p-q}$.

Soluzione (2)

- Consideriamo il modello dell'operazione di codifica:



- dove lo stato $0i$ è lo stato in cui il codificatore si trova i passi dopo aver emesso l'ultimo simbolo (e quando l'ultimo bit era uno 0).



Soluzione (3)

- Si ha $\boldsymbol{\pi} = [\pi_{0_0} \ \pi_{0_1} \ \pi_{0_2} \ \pi_{0_3} \ \pi_{0_4} \ \pi_{0_5} \ \pi_{0_6} \ \pi_{0_7} \ \pi_1]$

$$\mathbf{P} = \begin{bmatrix} 0 & p & 0 & 0 & 0 & 0 & 0 & 0 & 1-p \\ 0 & 0 & p & 0 & 0 & 0 & 0 & 0 & 1-p \\ 0 & 0 & 0 & p & 0 & 0 & 0 & 0 & 1-p \\ 0 & 0 & 0 & 0 & p & 0 & 0 & 0 & 1-p \\ 0 & 0 & 0 & 0 & 0 & p & 0 & 0 & 1-p \\ 0 & 0 & 0 & 0 & 0 & 0 & p & 0 & 1-p \\ 0 & 0 & 0 & 0 & 0 & 0 & 0 & p & 1-p \\ p & 0 & 0 & 0 & 0 & 0 & 0 & 0 & 1-p \\ 0 & 1-q & 0 & 0 & 0 & 0 & 0 & 0 & q \end{bmatrix}$$

Soluzione (4)

- Si ottengono le:

$$\pi_{0_2} = p\pi_{0_1}$$

$$\pi_{0_3} = p\pi_{0_2} = p^2\pi_{0_1}$$

...

$$\pi_{0_7} = p^6\pi_{0_1}$$

$$\pi_{0_0} = p^7\pi_{0_1}$$

- Sommando:

$$\pi_{0_1} \sum_{i=0}^7 p^i = \pi_{0_1} \frac{1-p^8}{1-p} = \pi_0 = \frac{1-q}{2-p-q}$$

$$\pi_{0_1} = \frac{(1-q)(1-p)}{(2-p-q)(1-p^8)} = \pi_1 \frac{(1-q)}{(1-p^8)}$$

Soluzione (5)

- Pertanto il simbolo 8 (codificato con un solo bit), corrispondente allo stato 0_0 , viene emesso con tasso:

$$\pi_{0_7} = \pi_1 \frac{(1-q)}{(1-p^8)} p^7$$

- Il tasso di simbolo risulta essere:

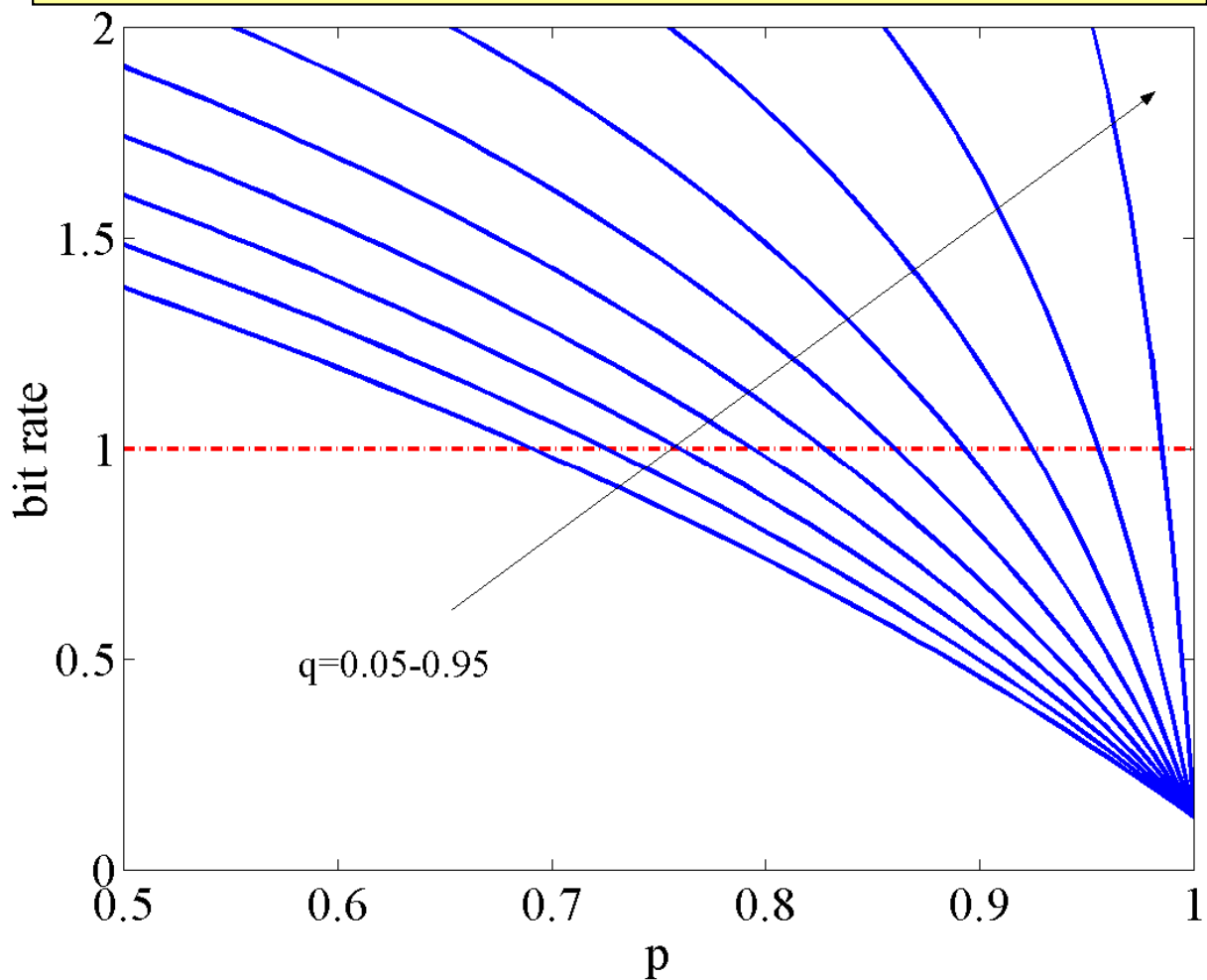
$$R = \pi_1 \left[1 + \frac{(1-q)}{(1-p^8)} p^7 \right] = \frac{1-p}{2-p-q} \left[1 + \frac{(1-q)}{(1-p^8)} p^7 \right] \text{ simboli/s.}$$

- La bit rate in uscita è:

$$\pi_1 \left[4 + \frac{(1-q)}{(1-p^8)} p^7 \right] = \frac{1-p}{2-p-q} \left[4 + \frac{(1-q)}{(1-p^8)} p^7 \right] \text{ bit/s.}$$

La soluzione è conveniente se $q < 1 - 3 \frac{(1-p)(1-p^8)}{1-p^7}$.

Questa condizione può essere rispettata se $p > 0.674$.





Un modello di Markov per l'affievolimento

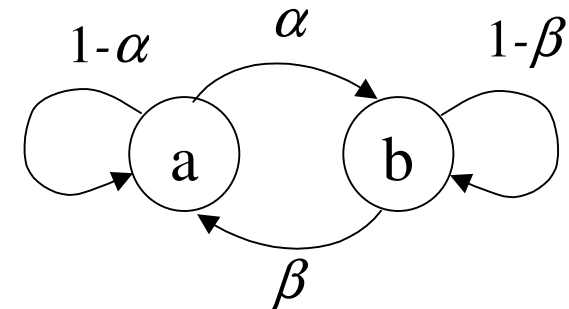
Fulvio Babich

Modello di Gilbert

- Supponiamo di distinguere fra due condizioni:

a) $p \leq P_0$: affievolimento.

b) $p > P_0$: funzionamento normale.



- **Gilbert** [2] ha ipotizzato che nella condizione a) il sistema operi con un tasso d'errore molto alto e che nella condizione b) il sistema operi senza errori (**Elliot** [3] ha esteso tale modello, ipotizzando due tassi d'errore diversi nelle due condizioni). Egli ha inoltre ipotizzato che l'evoluzione tra le due condizioni sia descritta da una catena di Markov.
- Detto $F=P/P_0$ il rapporto tra valor medio e soglia (*fade margin*), nell'ipotesi di Clarke, la matrice di transizione è:

$$\mathbf{P} = \begin{bmatrix} 1-\alpha & \alpha \\ \beta & 1-\beta \end{bmatrix}, \quad \beta = f_d T \sqrt{\frac{2\pi}{F}}, \quad \alpha = \beta \frac{\exp(-1/F)}{1 - \exp(-1/F)}.$$



Un modello più accurato

- L'accuratezza del modello di Gilbert dipende dai valori di $f_d T$ e F .
- L'accuratezza può essere migliorata nel seguente modo [4]:
 - Si ipotizzi che il valore futuro dello stato dipenda dai k precedenti (modello di Markov di ordine k ; per $k=1$ si ottiene Gilbert):

$$P[X_{n+1} = j | X_n = i, \dots, X_0 = i_0] = P[X_{n+1} = j | X_n = i_n, \dots, X_{n-k+1} = i_{n-k+1}]$$

- Si associ al modello di ordine k un modello del primo ordine, definendo stato la k -pla $[i_n, \dots, i_{n-k+1}]$ (si noti che i termini i_j possono assumere i valori 0 – *fade*, 1 – *non fade*).
- Determinata la nuova matrice di transizione (per via numerica), è possibile determinare il tempo di permanenza in un *fade*, (insieme degli stati in cui $i_n = 0$) nel modo illustrato nel seguito.



Tempi di residenza in un sottoinsieme di stati di una catena di Markov

- Notazione:
 - s_k : stato al passo k .
 - S : insieme di tutti gli stati, $S = \{1, 2, \dots, K\}$.
 - P_{ij} : $P[s_k = j | s_{k-1} = i]$.
 - \mathbf{P} : matrice di transizione.
 - $\boldsymbol{\pi}$: distribuzione limite, che soddisfa la $\boldsymbol{\pi} = \boldsymbol{\pi} \mathbf{P}$.
- Sia $E \subset S$, l'insieme di interesse. Siamo interessati a determinare la distribuzione del tempo di permanenza in E .

$$\zeta(n) = \Pr [s_{k+1} \in E, s_{k+2} \in E, \dots, s_{k+n-1} \in E, s_{k+n} \in E^c | s_k \in E, s_{k-1} \in E^c],$$

dove $E \cap E^c = \emptyset$ e $E \cup E^c = S$.



- Per semplicità definiamo $A_{k,n} = s_{k+1} \in E, s_{k+2} \in E, \dots, s_{k+n-1} \in E, s_{k+n} \in E^c$.
- Partizioniamo la matrice di transizione e la relativa probabilità limite secondo gli stati di E .

$$\mathbf{P} = \begin{matrix} & \begin{matrix} E & E^c \end{matrix} \\ \begin{bmatrix} T & U \\ R & Q \end{bmatrix} & \begin{matrix} E \\ E^c \end{matrix} \end{matrix}, \quad \boldsymbol{\pi} = \begin{bmatrix} \boldsymbol{\pi}_E & \boldsymbol{\pi}_{E^c} \end{bmatrix}$$

- Si ottiene:

$$\begin{aligned} \zeta(n) &= \Pr[A_{k,n} | s_k \in E, s_{k-1} \in E^c] \\ &= \sum_i \Pr[A_{k,n} | s_k \in E, s_{k-1} \in E^c, s_k = i] \Pr[s_k = i | s_k \in E, s_{k-1} \in E^c] \\ &= \sum_{i \in E} \Pr[A_{k,n} | s_{k-1} \in E^c, s_k = i] \Pr[s_k = i | s_k \in E, s_{k-1} \in E^c] \\ &= \sum_{i \in E} \Pr[A_{k,n} | s_k = i] \Pr[s_k = i | s_k \in E, s_{k-1} \in E^c] = \sum_{i \in E} f_i(n) \nu(i) \end{aligned}$$



Calcolo di $f_i(n)$

- $f_i(n) = \Pr[A_{k,n} | s_i]$ è la probabilità di rimanere esattamente n passi in E partendo da $s_i \in E$. Pertanto

$$f_i(n) = \sum_{j \in E} P_{ij} f_j(n-1).$$

- Sia $\mathbf{f}(n) = [f_1(n), f_2(n), \dots, f_K(n)]$. Ne risulta: $\mathbf{f}(n)^T = \mathbf{T} \mathbf{f}(n-1)^T$.
- Iterando si ottiene: $\mathbf{f}(n)^T = \mathbf{T}^{n-1} \mathbf{f}(1)^T$.
- Pertanto ($\mathbf{1}$ è un vettore colonna composto da “1”).

$$f_i(1) = \Pr[s_{k+1} \in E^c | s_k = i] = \sum_{j \in E^c} P_{i,j}; \quad f_i(1)^T = \mathbf{U} \mathbf{1}.$$

- Concludendo

$$\mathbf{f}(n)^T = \mathbf{T}^{n-1} \mathbf{U} \mathbf{1}.$$

Calcolo di $\nu(i)$

$$\begin{aligned}\nu(i) &= \Pr[s_k = i | s_k \in E, s_{k-1} \in E^c] \\ &= \Pr[s_k = i, s_k \in E, s_{k-1} \in E^c] / \Pr[s_k \in E, s_{k-1} \in E^c] \\ &= \sum_{m \in E^c} h(m, i) / \sum_{m \in E^c, n \in E} h(m, n) \\ h(n, m) &\stackrel{\text{def}}{=} \Pr[s_{k-i} = n, s_k = m] = \pi_n P_{nm}\end{aligned}$$

- Si ottiene:

$$\mathbf{v} = [\nu(1), \nu(2), \dots, \nu(|E|)] = \frac{\pi_{E^c} \mathbf{R}}{\pi_{E^c} \mathbf{R} \mathbf{1}}.$$



Risultato

- Pertanto

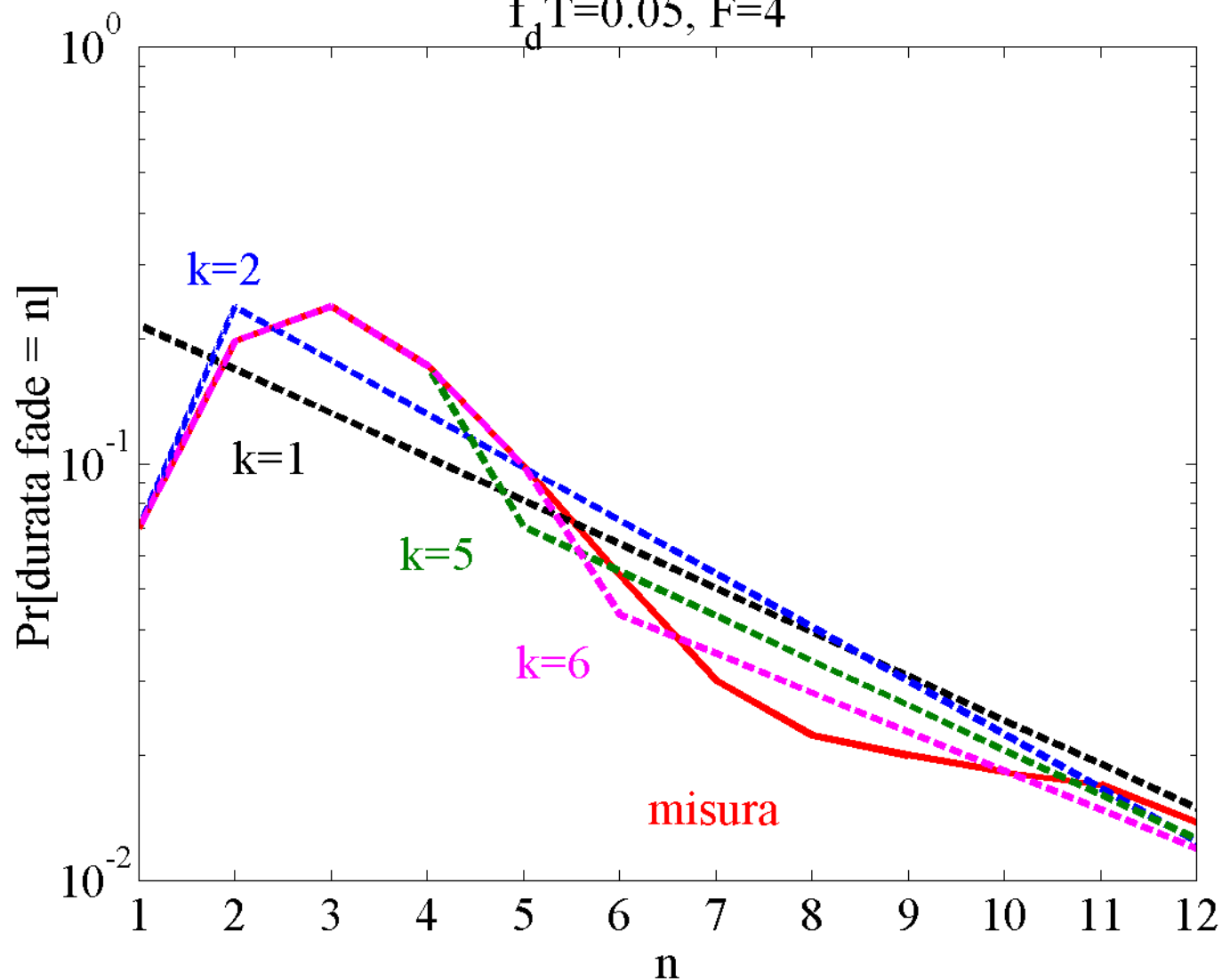
$$\zeta(n) = \sum_{i \in E} f_i(n) \nu(i) = \mathbf{v} \mathbf{f}(n)^T = \frac{\pi_{E^c} \mathbf{R} \mathbf{T}^{n-1} \mathbf{U} \mathbf{1}}{\pi_{E^c} \mathbf{R} \mathbf{1}}$$

- In Matlab, sia \mathbf{e} il vettore tale che $e_i=1$ se $i \in E$ e 0 altrimenti. Sia $\mathbf{E}=\text{diag}(\mathbf{e})$, e sia $\mathbf{1}$ la matrice colonna composta da K “1”.
 - $\mathbf{E}^C = \mathbf{I} - \mathbf{E}$.
 - $\mathbf{R}_1 = \mathbf{E}^C \mathbf{P} \mathbf{E}$.
 - $\mathbf{T}_1 = \mathbf{E} \mathbf{P} \mathbf{E}$.
 - $\mathbf{U}_1 = \mathbf{E} \mathbf{P} \mathbf{E}^C$.

$$\zeta(n) = \frac{\pi \mathbf{R}_1 \mathbf{T}_1^{n-1} \mathbf{U}_1 \mathbf{1}}{\pi \mathbf{R}_1 \mathbf{1}}$$

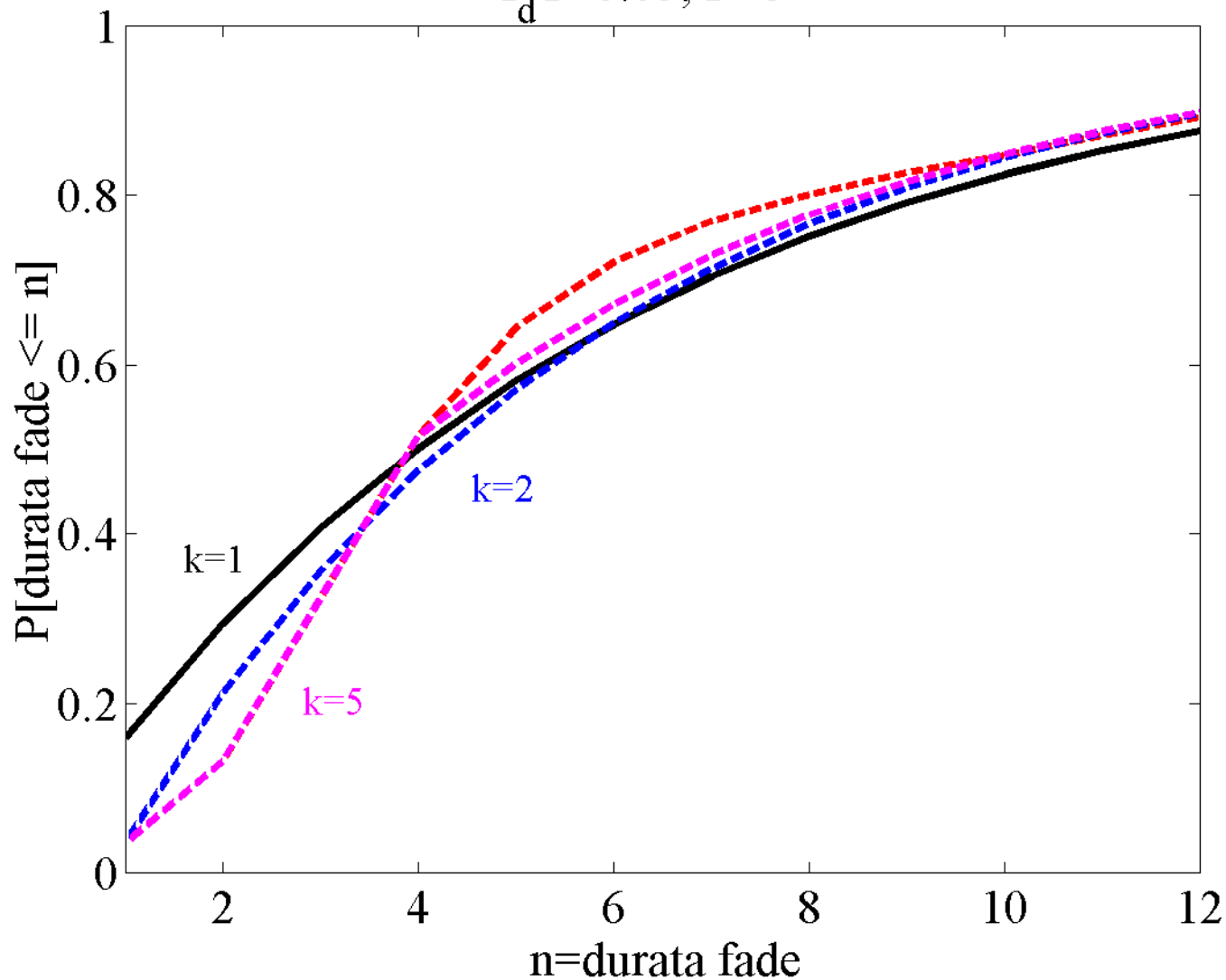
Esempio (1)

$f_d T = 0.05, F = 4$



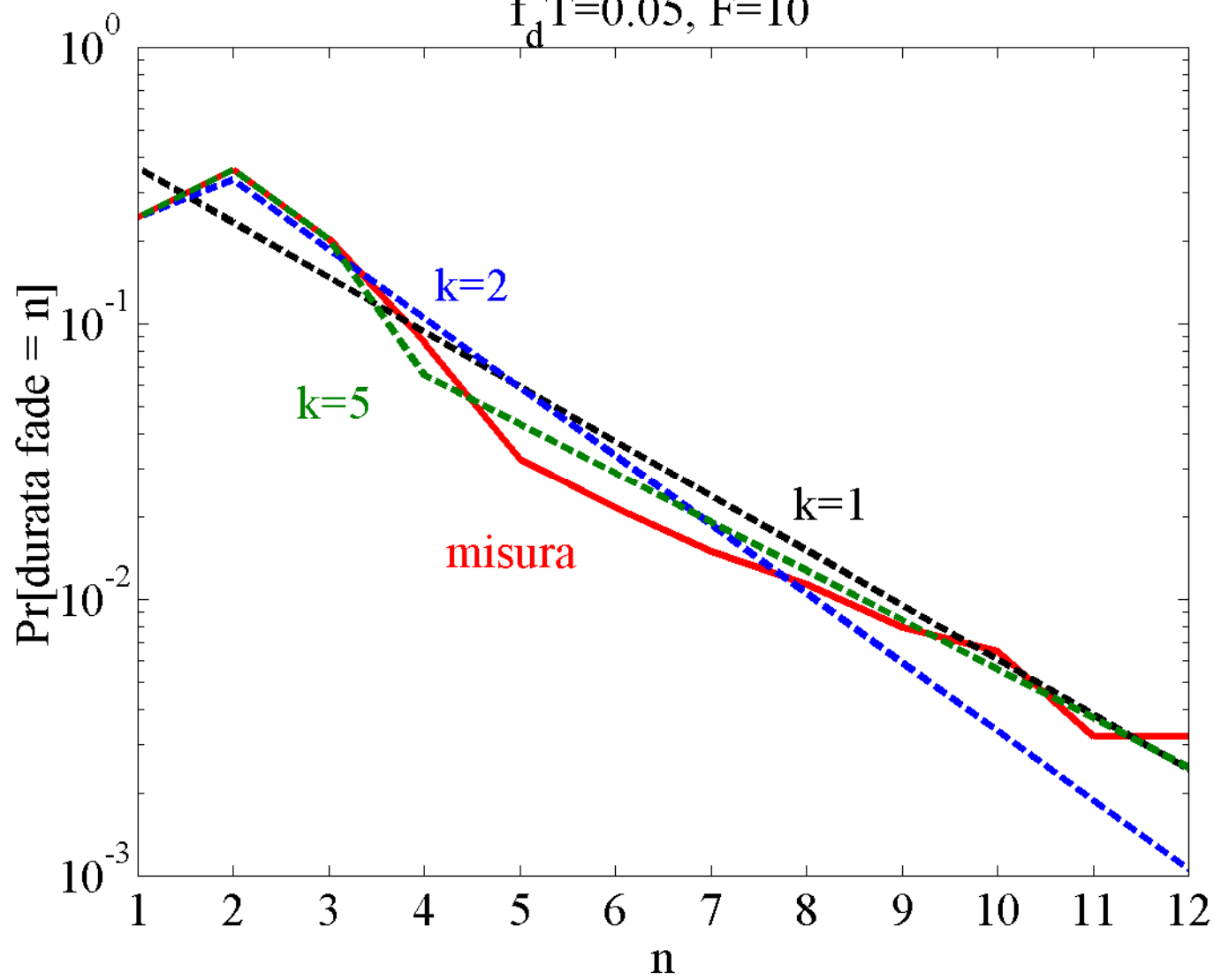
Esempio (1b)

$f_d T = 0.05, F = 6$



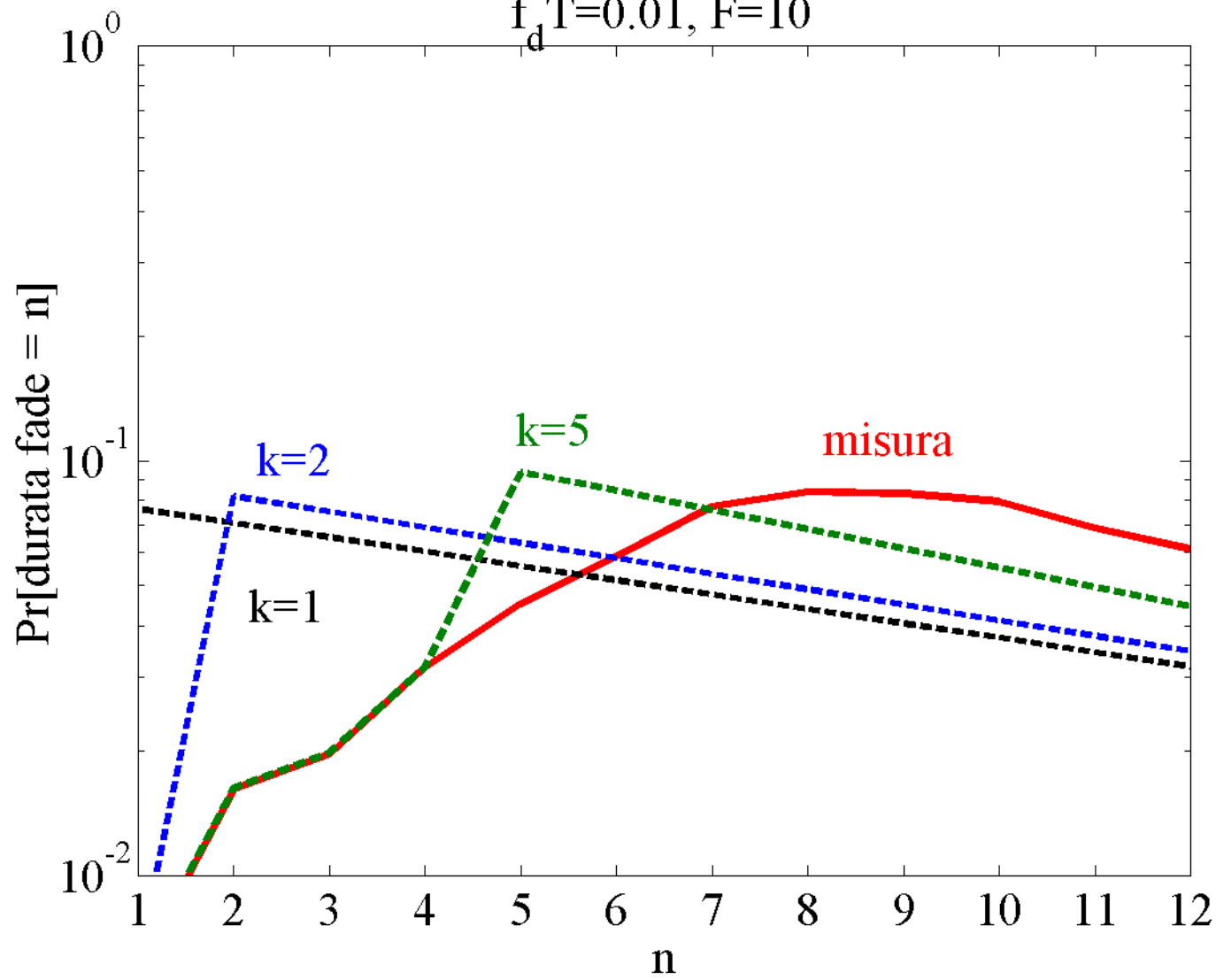
Esempio (2)

$f_d T = 0.05, F = 10$



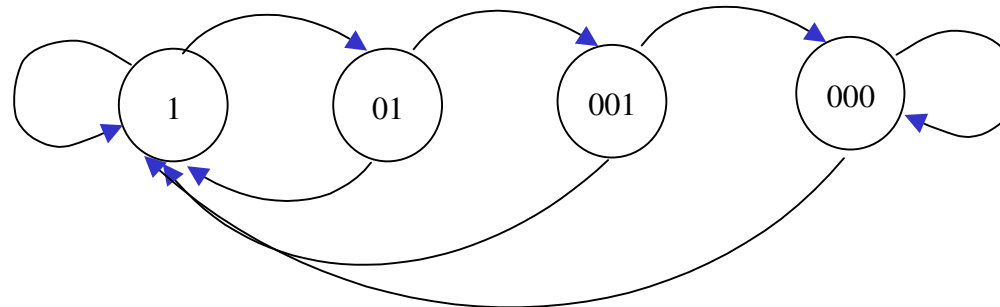
Esempio (3)

$f_d T = 0.01, F = 10$



Esempio (3 continua)

- Nell'esempio 3, il modello è costituito da stati del tipo riportato in figura, che si distinguono proprio per il tempo di permanenza in un *fade* (nella figura, 1, 2, almeno 3). All'aumentare di k aumenta il numero di stati inclusi (ovviamente, la figura considera il caso $k=3$).



- Negli altri esempi il modello ha una struttura più complessa.



Un modello con L livelli

- Supponiamo di quantizzare rispetto a $L-1$ soglie A_i , $i=1 \dots L-1$. Sia ($A_0=0$, $A_L=\infty$).
- Detta p_k la probabilità che il valore della potenza sia compreso fra A_k e A_{k+1} , le probabilità di transizione sono espresse dalle [5, 6]:

$$t_{k,k+1} \approx N_{k+1}T / p_k, \quad k = 0, \dots, L-2$$

$$t_{k,k-1} \approx N_k T / p_k, \quad k = 1, \dots, L-1$$

$$t_{j,k} \approx 0 \quad |j-k| \geq 2$$

$$t_{k,k} = 1 - \sum_{j=0, j \neq k}^{L-1} t_{k,j} \quad k = 0, \dots, L-1$$

Un modello con L livelli

- Dove:
$$N_k = f_D \sqrt{\frac{2\pi(1+K)A_k}{P}} e^{-K} I_0\left(2\sqrt{\frac{K(1+K)A_k}{P}}\right) \exp\left(-\frac{1+K}{P} A_k\right)$$
- essendo P il **valor medio** della potenza ricevuta.
- Si noti che per $K=0$ (*fading* di Rayleigh), le equazioni assumono una semplice **forma chiusa**.

$$L = 2, K = 0, F = P / A;$$

$$p_0 = 1 - \exp(-1/F);$$

$$p_1 = \exp(-1/F);$$

$$N_1 = f_D \sqrt{2\pi/F} \exp(-1/F);$$
- Anche in questo caso, il modello di Markov può essere esteso a un **ordine più elevato** [4].

$$t_{0,1} = \frac{N_1 T}{p_0} = f_D T \sqrt{2\pi/F} \frac{\exp(-1/F)}{1 - \exp(-1/F)} = \alpha$$

$$t_{1,0} = \frac{N_1 T}{p_1} = f_D T \sqrt{2\pi/F} = \beta$$



Coefficiente di autocorrelazione

Sia \mathbf{s} il vettore riga dei valori quantizzati (cioè degli L valori associati ai diversi livelli di quantizzazione), \mathbf{p} il vettore delle probabilità e \mathbf{T} la matrice di transizione; sia inoltre $\{x[n]\}$ il processo quantizzato. Si ha:

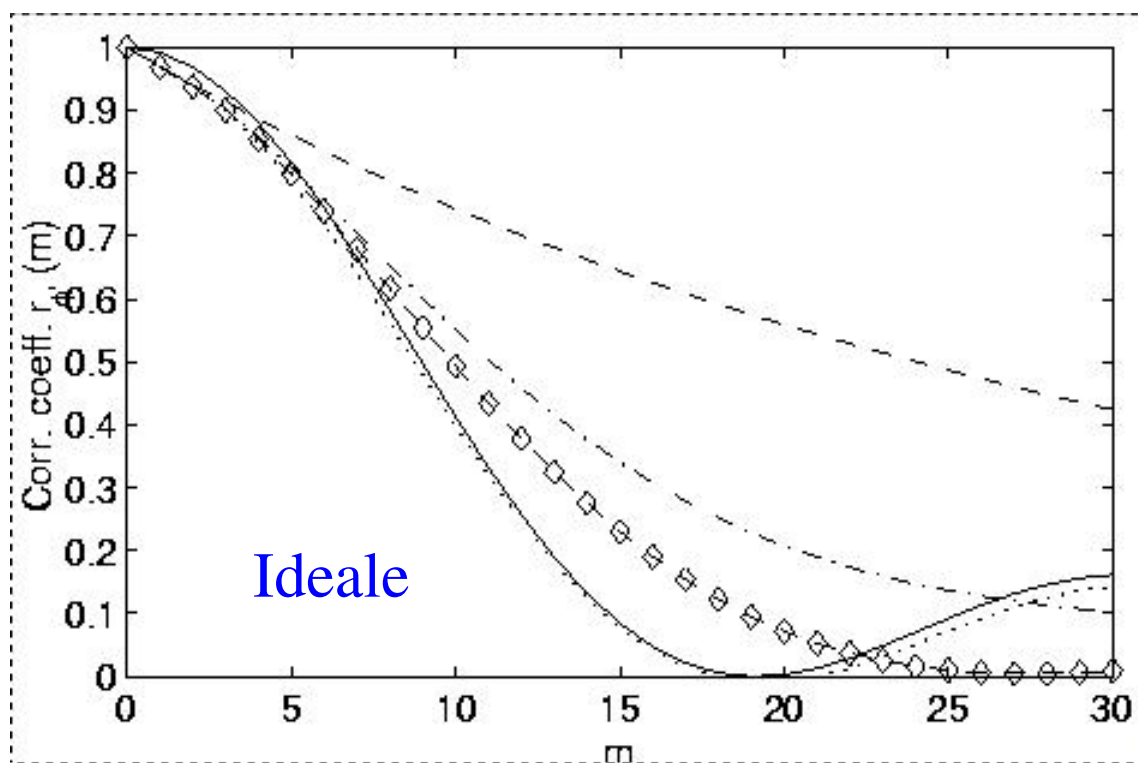
$$E[x_n x_{n+m}] = \sum_i \sum_j s_i p_i s_j p_j = \sum_i s_i p_i \sum_j s_j t_{i,j}^{(m)} = (\mathbf{s} * \mathbf{p}) \left[\mathbf{s} (\mathbf{T}^m)^T \right]^T$$

$$\text{(dove } \mathbf{s} * \mathbf{p} = (s_i p_i)_{i=1}^L \text{)}$$

$$E[x_n] = \mathbf{s} \mathbf{p}^T$$

$$\rho_m = \frac{E[x_n x_{n+m}] - (E[x_n])^2}{E[x_n^2] - (E[x_n])^2}$$

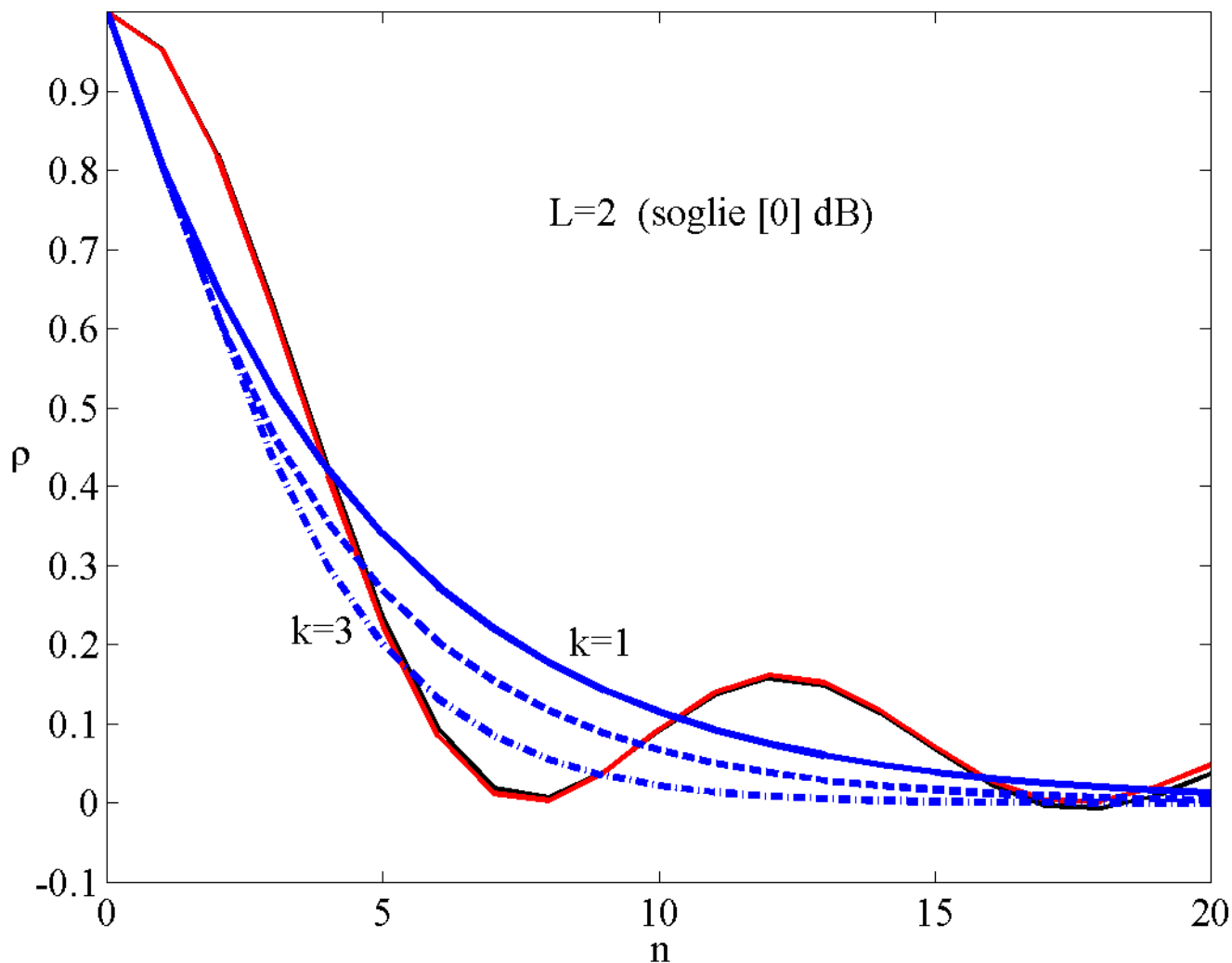
Esempio



Fading di Rayleigh: Coefficiente di autocorrelazione

Esempio (*Rayleigh*)

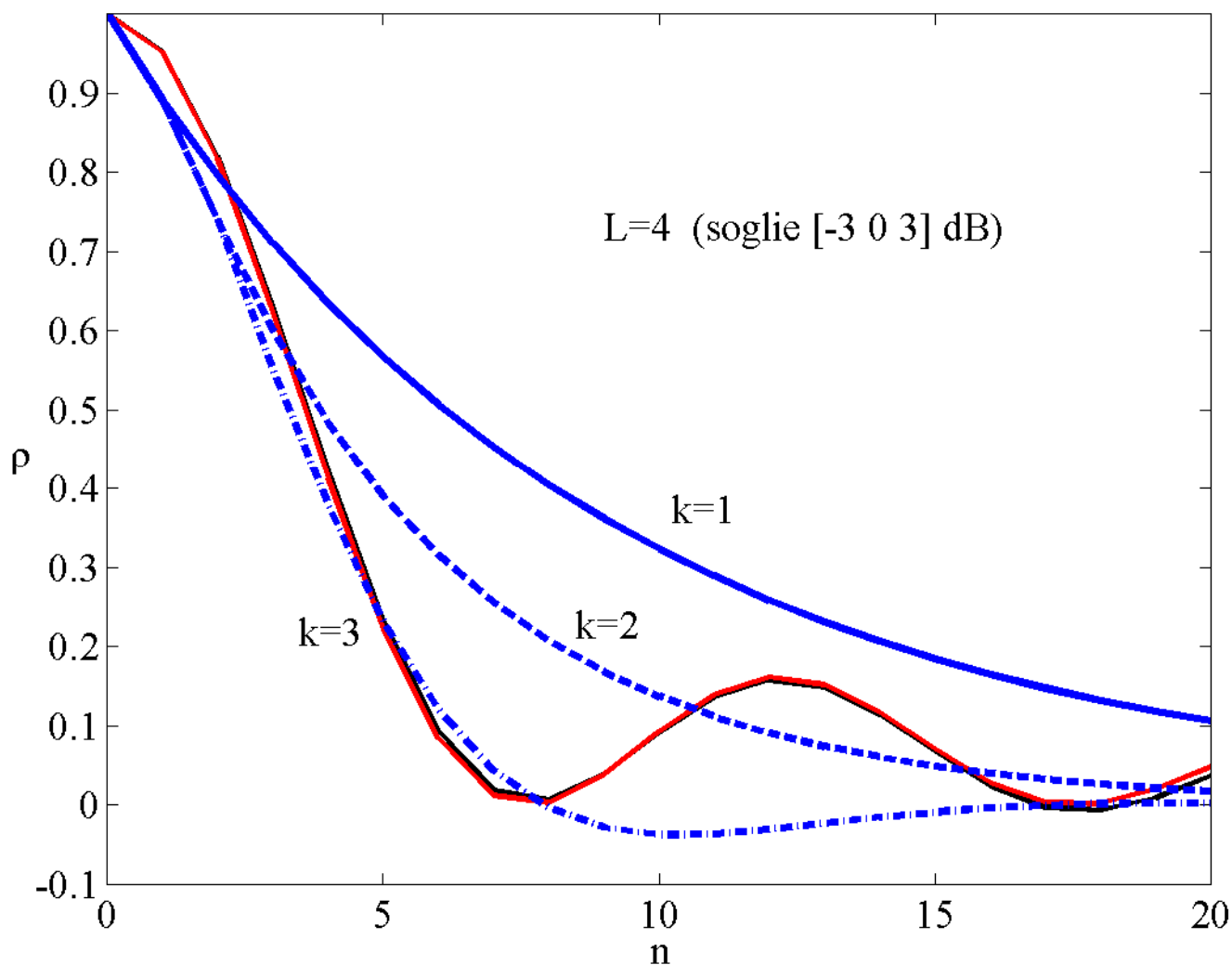
$f_D T = 0.05$, valor medio = 1





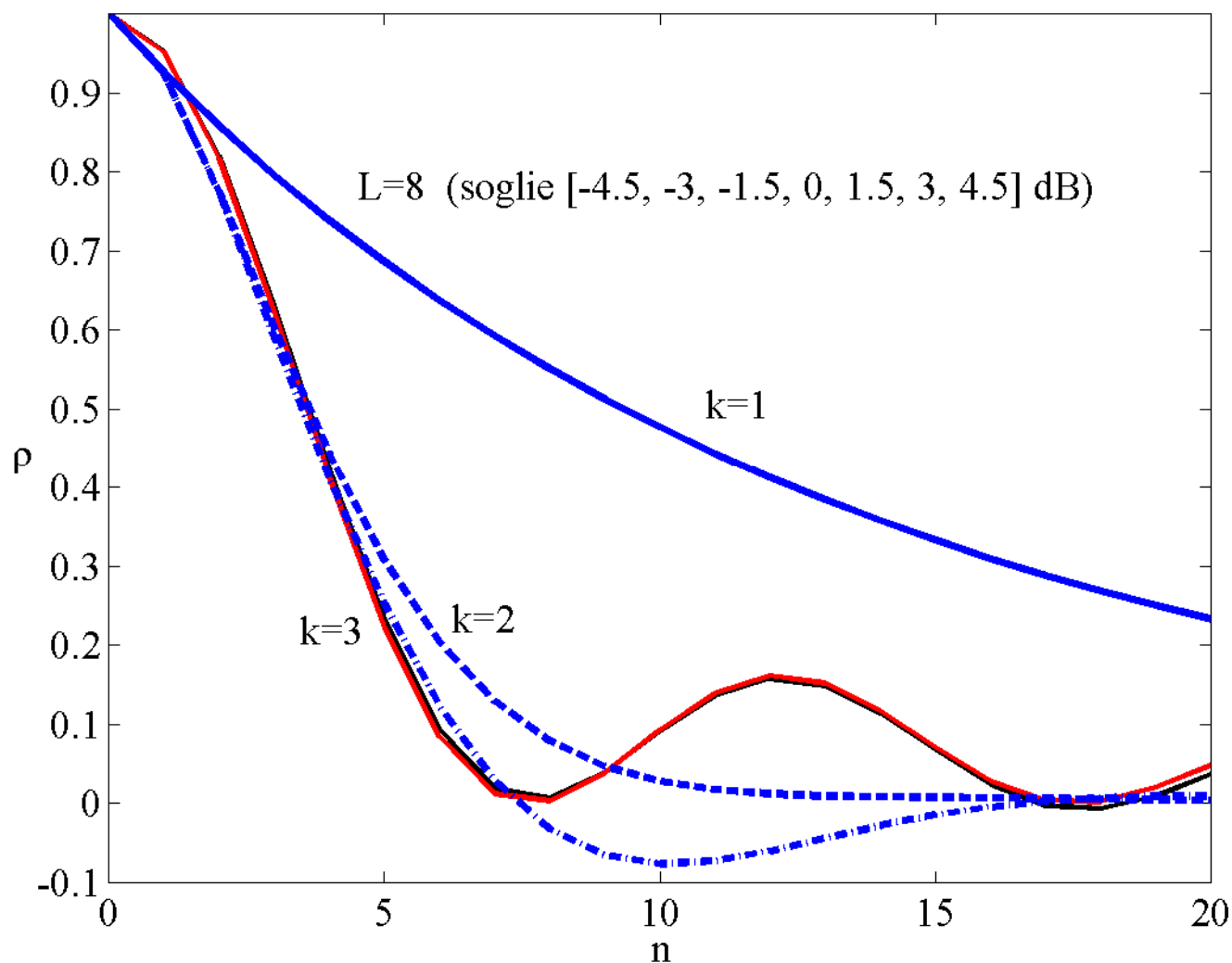
Esempio

$f_D T = 0.05$, valor medio = 1



Esempio

$f_D T = 0.05$, valor medio = 1





Riferimenti bibliografici

1. G. L. Stüber, *Principles of Mobile Communication*, Kluwer Academic Publishers, 2000.
2. E. N. Gilbert, *Capacity of a burst-noise channel*, *Bell Syst. Tech. J.*, vol. 39, pp. 1253–1266, Sept. 1960.
3. E. O. Elliott, *Estimates of error rates for codes on burst-noise channels*, *Bell Syst. Tech. J.*, vol. 42, pp. 1977–1997, Sept. 1963.
4. F. Babich, O. E. Kelly, G. Lombardi, *A Context-Tree Based Model for Quantized Fading*, *IEEE Communications Letters*, Vol. 3, No. 2, pp. 46-48, February 1999.
5. H. S. Wang and N. Moayeri, *Finite-State Markov Channel: A Useful Model for Radio Communication Channel*, *IEEE Trans. Veh. Technol.*, vol. 44, no. 1, pp. 163-171, Feb. 1995.
6. F. Babich, G. Lombardi, *A Markov Model for the Mobile Propagation Channel*, *IEEE Trans. on Vehicular Technology*, vol. 49, no. 1, January 2000.